

曲線形の最適設計について

秋田大学 正員・薄木 征三
秋田大学 学生員 犀原 久男

1. 語言 曲線形はその横断面内での応力分布が直角にからべ複雑である。すなはち、曲げ、せん断、ねじり、曲げねじりの組合せ応力を含む。従って最小鋼材量を求める方法である fully stress の段階において多くの問題を含んでいる。本報告は現行示方書の規定に全面的に拘束されることはなく断面決定法について述べる。

座屈に関しては曲線形の特徴として、その曲率のゆえに圧縮フランジでは局部座屈に対する照査の必要、ウェブのみ支点上の厚さを考慮するばかりでなくと思われる。又左鋼材の降伏に関しては、現在腹板の安全係数を除く他の種算に用いられており von Mises の合応力廣告における条件を適用するのが妥当である。これらを前提として以下曲線ガーリーの主として最小鋼材量設計について述べる。構造解析は薄肉曲線形の理論を用いてある。

2. 断面決定の方法 図-1は万能軸 x, y 軸を曲げ主軸、(s, n)を断面内の位置を表す曲線座標、O, S, E 中立点、せん断中心とし、 R_o , R_s これらの点を連ねて曲率半径とする。図のよろしく軸対称I型断面では $R_s = R_o$ であり、また曲率半径は片側フランジ上 b_f は十分小となり $(R_o + R_s)/\rho \neq 1$ に差しつかえない。又 x 軸方向応力 σ 、せん断応力 (s は沿3) と回転の 2 方向應力 τ が作用される。 J_y , J_T , C_w は x 軸と曲げ、ねじり、曲げねじり剛性である。

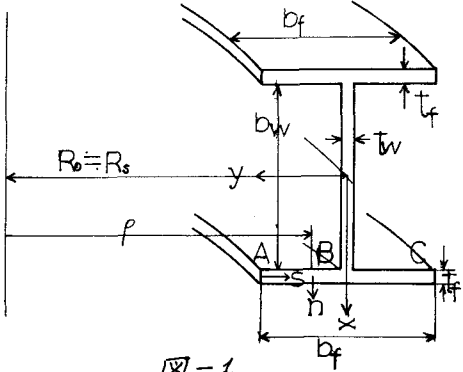


図-1

$$\left. \begin{aligned} \sigma &= \frac{M_y}{J_y} \cdot x + \frac{M_o}{C_w} \cdot \omega \\ \tau &= -\frac{Q_x}{J_y T} \cdot g_y(s) - \frac{T_o}{C_w T} \cdot g_w(s) + z \frac{T_o}{J_T} \cdot n \end{aligned} \right\} \dots (1)$$

$$g_y(s) = \int_0^s x t ds, \quad g_w(s) = \int_0^s \omega t ds \quad \dots \dots \dots (2)$$

であり、 ω はせん断中心に関するモーメントである。断面力の符号は曲げ、せん断はつまでは通常の約束、ねじりは x 軸に向て時計方向を正とする。von Mises の降伏条件は

$$\sigma_v^2 = \sigma^2 + 3 \tau^2 \leq (K \cdot \sigma_a)^2 \quad \dots \dots \dots (3)$$

であり、 K は引張許容応力 σ_a に対する適当な割り増し率である。式(1), (2)は

$$\left. \begin{aligned} \sigma &= \sigma_m + \sigma_w \\ \tau &= \tau_g + \tau_w + \tau_o \end{aligned} \right\} \quad \dots \dots \dots (4)$$

とかくと、フランジが垂直工軸周りの曲げモーメント M_w と、それによる該物保分布のせん断流 T_w 、フランジナット方向に一定の T_s を受けてから、降伏条件式(4)を満足する点はフランジ端とフランジ中央の2点で行う。ウェブは水平工軸周りの曲げモーメント M_w と該物保分布のせん断流 T_w 、およびウェブ中央方向に一定の T_s を受けてからウェブ中央とウェブとフランジの結合点の2点で満足する。しかし、2箇所内に4点で応力を照査することは不可能か、桁、端支点附近ではせん断剛性 (T_s) が卓越するから、ウェブ中央の応力で決まり、支間中央部では曲げ剛性 S_w が卓越するからフランジ中央またはフランジとウェブ結合部の応力を T_s と T_w とに分離され、外力として考慮しても $-x$ 軸も考慮する場合や、内張り面半径が小さいところ場合はフランジ端で降伏する T_w をめぐらす。断面内での応力分布の対称性と逆対称性を考慮すれば、これら4点での応力を(応力の方向を考慮しながら引いて)次のように表される。

$$\left. \begin{aligned} \sigma &= \alpha \cdot \frac{|M_g|}{S_w} + \beta \cdot \frac{|M_u|}{S_w} \\ T &= \gamma \cdot \frac{|Q_x|}{V_g} + \delta \cdot \frac{|T_w|}{V_o} + \epsilon \cdot \frac{|T_s|}{V_s} \end{aligned} \right\} \quad \dots (5)$$

$\alpha, \beta, \gamma, \delta, \epsilon$ は絶対値である。 $\alpha, \beta, \gamma, \delta, \epsilon$ は断面内4点で決まる1または0の数、 S_w, S_u, V_g, V_o, V_s は断面係数である。 $\alpha, \beta, \gamma, \delta, \epsilon$ は表の下表の通りである。

断面内位置	α	β	γ	δ	ϵ	S_w	V_g	V_o	V_s
1 フランジ端	1	1	0	0	1	$b(b_t b_f + t_w t_b)/6$	$t_f b_f^2 h/6$	—	$(2t_f^3 b_f + t_w^3 h)/3t_b$
2 フランジ中央	1	0	1	1	1	$b(b_t b_f + t_w t_b)/6$	—	$t_f(b_t b_f + t_w t_b)/3t_b$	$(2t_f^3 b_f + t_w^3 h)/3t_b$
3 フランジ端結合点	1	0	1	0	1	$b(b_t b_f + t_w t_b)/6$	—	$t_f(b_t b_f + t_w t_b)/3t_b$	$(2t_f^3 b_f + t_w^3 h)/3t_b$
4 ウェブ中央	0	0	1	0	1	—	—	$t_f(b_t b_f + t_w t_b)/3t_b$	$(2t_f^3 b_f + t_w^3 h)/3t_b$

式(6)の右辺の各項を式(4)の右辺の3つにそろそろめぐらす

$$(\sigma_{ri})^2 = (\sigma_m + \sigma_w)^2 + 3(T_{gi} + T_w + T_{si})^2$$

σ_m, b_f, b_w, t_w は $x - t - z$ 軸

$$(K_i \sigma_a)^2 = \max_i (\sigma_{ri})^2 \quad (i=1 \sim 4)$$

が成立する3と3はフランジ厚を適当な値から減らせる。2と3の t_f は \widehat{t}_{fj} ($j=1 \sim N_f+1$) である。この条件下にフランジ最小板厚 t_{fmin} 、フランジの局部屈屈は t_f にて直角の条件を用ひる。

式(6)を

$$t_{fj} = \max \{ t_{fmin}, \frac{b_f - t_w}{\alpha_0}, \widehat{t}_{fj} \} \quad (j=1 \sim N_f+1)$$

は j と t_f 所要板厚を定める。たゞ3と103 $x - t - z$ 軸の範囲内における t_f を定める。

$$t_w \geq t_{fmin}$$

この3と1に定める4点の3つ、調節費

$$C = b_w t_w C_u(b_w, t_w) + \sum_{j=1}^{N_f+1} Z b_f d_j t_{fj} C_u(b_f, t_{fj})$$

を最小とする (b_w, t_w, b_f, t_{fj}) の組合せを求める。ただし $t_{fj} \geq t_f$ は C を最小化する t_f と t_{fj} の関係である。Normal Action \times Hybrid Action の3種類の設計を行わねばならぬ。

文献 1) R. Razani, G. Goble, OPTIMUM DESIGN OF CONSTANT-DEPTH PLATE GIRDER, Proc. ASCE, April, 1968

2) 山田善一, 国立昌史, 柵行の最適設計, 1972年研究会論文集第26回年次学術講演会論文集 1971.10